

УДК 539.391+514.764.2

## ПОЛЯ ЭЙНШТЕЙНА-МАКСВЕЛЛА И ДИНАМИКА ВОРТОНОВ

*Жовтан А.В., Рощупкин С.Н.*

*Таврический национальный университет им. В.И. Вернадского, Симферополь, Украина  
E-mail: alex\_ph@fastmail.fm, rsn@tnu.crimea.ua*

Рассмотрена общая модель сверхпроводящей струны. Показано, что замкнутая сверхпроводящая струна в аксиально симметричных полях Эйнштейна-Максвелла может быть описана частицеподобным гамильтонианом.

**Ключевые слова:** сверхпроводящая космическая струна, поля Эйнштейна-Максвелла, численные решения.

### ВВЕДЕНИЕ

Калибровочные теории Великого объединения (ТВО), основанные на идее спонтанного нарушения симметрии, предсказывают возможность образования в процессе фазовых переходов в ранней Вселенной одномерных топологически нетривиальных дефектов вакуума в виде космических струн с массой на единицу длины порядка массы объединения [1]. В последнее время гипотеза космических струн привлекла к себе внимание как возможная основа теории происхождения крупномасштабных структур во Вселенной [2]. Если допустить, что радиус кривизны струны всегда намного больше ее характерной толщины, то динамику космической струны можно описывать действием Намбу-Готто. В этом приближении уравнения струны значительно упрощаются и могут быть в некоторых случаях решены точно [3]. Интерес к космическим струнам еще больше возрос после работы Виттена [4], в которой была продемонстрирована возможность образования в некоторых моделях ТВО сверхпроводящих космических струн в результате бозонной конденсации или нулевой фермионной моды в коре струны [5]. В частности была показана возможность существования замкнутых сверхпроводящих струн (вортонов). Дальнейшие исследования показали, что имеют место и иные механизмы, приводящие к сверхпроводимости космических струн [6]. Эта новая внутренняя степень свободы приводит к ряду новых интересных физических эффектов, отсутствующих для обычных струн. В частности было показано, что сверхпроводящие космические струны могут породить мощные  $\gamma$ -всплески и космические лучи сверхвысоких энергий [7].

В последние годы ведется интенсивная работа по изучению решений нелинейных уравнений движения космических струн в гравитационных полях. Получены первые интересные результаты, показывающие неинтегрируемость уравнений движения космической струны в гравитационном поле черной дыры Шварцшильда и, следовательно, существование в системе динамического хаоса [8].

Возможное существование космических струн не противоречит наблюдениям реликтового излучения. Более того, не исключено, что такие объекты существуют и

в современную эпоху и могут быть наблюдаемы. В гравитационном поле струны возникает своеобразный эффект фокусировки вследствие чего струны могут давать двойные (а в более сложных конфигурациях и кратные) изображения светящихся объектов, расположенных позади них [9]. Этот эффект может быть использован для поиска космических струн во Вселенной [10,11].

Цель настоящей работы – исследование динамики ЗСКС в цилиндрически-симметричных полях Эйнштейна-Максвелла.

### 1. ЭФФЕКТИВНЫЙ ГАМИЛЬТониАН ДЛЯ ЗСКС ВО ВНЕШНЕМ ГРАВИТАЦИОННОМ ПОЛЕ

Действие сверхпроводящей космической струны хорошо известно и имеет вид [12]

$$S = \int L(\omega) \sqrt{-\det G_{\alpha\beta}} d\tau d\sigma \quad (1)$$

где

$$G_{\alpha\beta} = g_{\mu\nu}(x) x_{,\alpha}^{\mu} x_{,\beta}^{\nu}, \quad (\alpha, \beta = 0,1) \quad (2)$$

– индуцированная метрика на мировом листе струны,  $g_{\mu\nu}(x)$  ( $\mu, \nu = 0, 1, 2, 3$ ) – метрика фонового гравитационного поля,  $x^{\mu}(\tau, \sigma)$  – мировые координаты струны параметризованные времениподобным параметром  $\tau$  и пространственноподобным  $\sigma$ ,  $x_{,\alpha}^{\mu} \equiv \partial x^{\mu} / \partial \zeta^{\alpha}$  ( $\zeta^{\alpha} = (\zeta^0, \zeta^1) = (\tau, \sigma)$ ), а  $L(\omega)$  – плотность функции Лагранжа, зависящая от ковариантной производной скалярного поля  $\Phi$  «живущего» на мировом листе струны:

$$\omega = G^{\alpha\beta} (\Phi_{,\alpha} + A_{\mu} x_{,\alpha}^{\mu}) (\Phi_{,\beta} + A_{\mu} x_{,\beta}^{\mu}) \quad (3)$$

В формуле (3)  $A_{\mu}$  – потенциал внешнего электромагнитного поля.

Рассмотрим модель, в которой плотность функции Лагранжа имеет вид:

$$L(\omega) = 1 + \omega/2, \quad A_{\mu} = 0, \quad (4)$$

а для мировых координат струны и скалярного поля  $\Phi$  выберем следующий анзац [12]:

$$x^a = x^a(\tau), \quad (a = 0,1,2), \quad x^3 = \phi = \sigma, \quad \Phi = f(\tau) + n\sigma, \quad (5)$$

где  $f(\tau)$  – произвольная функция  $\tau$ , а  $n = const$ . Анзац (5) описывает замкнутую токнесущую струну, движущуюся вдоль оси  $z$ .

Подставляя (2)-(5) в (1) получаем эффективное действие описывающее ЗСКС

$$S_{eff} = \int L(\omega) \sqrt{-g_{ab} g_{\phi\phi} \dot{x}^a \dot{x}^b} d\tau \quad (6)$$

где точка обозначает дифференцирование по  $\tau$ . Варьируя действие (6) по  $f(\tau)$  и  $x^a(\tau, \sigma)$  приходим к уравнениям

$$\omega(\tau) = \frac{n^2 - \Omega^2}{g_{\phi\phi}} \quad (7)$$

$$\left[ \frac{g_{ab} g_{\phi\phi}}{\sqrt{-g_{ab} g_{\phi\phi} \dot{x}^a \dot{x}^b}} \left(1 + \frac{N^2}{2g_{\phi\phi}}\right) \dot{x}^b \right] + \frac{\sqrt{-g_{ab} g_{\phi\phi} \dot{x}^a \dot{x}^b}}{2g_{\phi\phi}} \times$$

$$\times \left(1 - \frac{N^2}{2g_{\phi\phi}}\right) g_{\phi\phi, a} - \frac{g_{bc, a} \dot{x}^b \dot{x}^c g_{\phi\phi}}{2\sqrt{-g_{ab} g_{\phi\phi} \dot{x}^a \dot{x}^b}} \left(1 + \frac{N^2}{2g_{\phi\phi}}\right) = 0, \quad (8)$$

где  $\Omega$  – постоянная интегрирования, а  $N^2 = n^2 + \Omega^2$ . Вводя метрику

$$h_{ab} \equiv g_{ab} g_{\phi\phi} \left(1 + \frac{N^2}{2g_{\phi\phi}}\right)^2, \quad (9)$$

и переходя к новому аффинному параметру  $\tilde{\tau}$

$$d\tilde{\tau} = \sqrt{-g_{ab} g_{\phi\phi} \dot{x}^a \dot{x}^b} \left(1 + \frac{N^2}{2g_{\phi\phi}}\right) d\tau, \quad (10)$$

уравнения (8) можно записать в компактном виде

$$\frac{d^2 x^a}{d\tilde{\tau}^2} + \Gamma_{bc}^a \frac{dx^b}{d\tilde{\tau}} \frac{dx^c}{d\tilde{\tau}} = 0, \quad (11)$$

где  $\Gamma_{bc}^a$  – символы Кристоффеля для метрики  $h_{ab}$ . Легко показать, что уравнения (11) могут быть получены из гамильтониана

$$H = (h^{ab} p_a p_b + 1) / 2 = 0 \quad (12)$$

Таким образом, динамика ЗСКС сводится к исследованию движения фиктивной точечной частицы в «нефизическом» трехмерном пространстве, которое определяется метрическим тензором  $h_{ab}$ . Однако, предпочтительней описывать динамику ЗСКС в физическом пространстве-времени, описываемом метрическим тензором  $g_{\mu\nu}$ . С этой целью удобно перейти к новому гамильтониану  $\hat{H}$ , который связан с гамильтонианом (12) следующим соотношением:

$$\hat{H} \equiv g_{\phi\phi} \left(1 + \frac{N^2}{2g_{\phi\phi}}\right)^2 H, \quad (13)$$

и новому аффинному параметру  $\tilde{\tau}$

$$d\tilde{\tau} \equiv \left(1 + \frac{N^2}{2g_{\phi\phi}}\right)^{-2} \frac{d\tilde{\tau}}{g_{\phi\phi}}. \quad (14)$$

В результате находим

$$\hat{H} = \frac{1}{2} g^{\mu\nu} p_\mu p_\nu + \frac{1}{2} g_{\phi\phi} \left(1 + \frac{N^2}{2g_{\phi\phi}}\right)^2 - \frac{\Omega^2 n^2}{2g_{\phi\phi}}, \quad (15)$$

$$p_\phi = -n\Omega, \quad \hat{H} = 0. \quad (16)$$

Беря за основу гамильтониан (15), рассмотрим динамику ЗСКС в аксиально-симметричных полях.

## 2. ЭФФЕКТИВНЫЕ ПОТЕНЦИАЛЫ И ДИНАМИКА ЗСКС

Известны три точных решения описывающих статические, цилиндрически-симметричные поля Эйнштейна-Максвелла [13]:

- 1) с азимутальным магнитным полем, обусловленным осевым током;
- 2) с продольным магнитным полем, обусловленным азимутальными токами;
- 3) с радиальным электрическим полем, обусловленным аксиальным распределением заряда.

Соответствующие первые квадратичные формы имеют вид:

$$ds^2 = \rho^{2m^2} G^2 (d\rho^2 - dt^2) + \rho^2 G^2 d\phi^2 + G^{-2} dz^2, \quad (17)$$

$$ds^2 = \rho^{2m^2} G^2 (d\rho^2 - dt^2) + G^{-2} d\phi^2 + \rho^2 G^2 dz^2, \quad (18)$$

$$ds^2 = \rho^{2m^2} G^2 (d\rho^2 + dz^2) + \rho^2 G^2 d\phi^2 - G^{-2} dt^2, \quad (19)$$

где

$$G = C_1 \rho^m + C_2 \rho^{-m}, \quad (20)$$

а  $C_1, C_2, m$  – вещественные константы. Безразмерная константа  $m$  для метрик (17), (18) определяет функциональную зависимость магнитостатического потенциала от радиальной координаты  $\rho$ , а для метрики (19) зависимость электростатического потенциала от  $\rho$ . В дальнейшем константы  $C_1$  и  $C_2$  входящие в функцию  $G$  будем считать равными ( $C_1 = C_2 = c$ ).

Азимутальное магнитное поле.

Воспользовавшись уравнениями (15)-(17) легко получить явный вид гамильтониана

$$H = -\frac{1}{2}\rho^{-2m^2}G^{-2}\varepsilon_0^2 + \frac{1}{2}\rho^{-2m^2}G^{-2}p_\rho^2 + \frac{1}{2}G^2p^2 + \frac{1}{2}\left(\rho G + \frac{N^2}{2\rho G}\right)^2, \quad (21)$$

где  $\varepsilon_0$  – энергия струны, а  $p = -P_z$ . Из гамильтониана (21) и связи (16) находим уравнение движения и эффективный потенциал

$$\dot{\rho}^2 = \rho^{-4m^2}G^{-4}\varepsilon_0^2 - \rho^{-2m^2}p^2 - \rho^{-2m^2+2} - \frac{N^4}{4}\rho^{-2m^2-2}G^{-4} - N^2\rho^{-2m^2}G^2, \quad (22)$$

$$U_{\text{эф}}^2(\rho) = \rho^{2m^2}G^4p^2 + \rho^{2m^2+2}G^4 + \frac{N^4}{4}\rho^{2m^2-2} + N^2\rho^{2m^2}G^2, \quad (23)$$

Эффективный потенциал (23) позволяет, с одной стороны, найти стационарную точку типа «седло», которая определяется следующими условиями:

$$\rho = 1, \quad m_s = \sqrt{\frac{N^4 - 64c^4}{64c^4p^2 + (8c^2 + N^2)^2}}, \quad (24)$$

а с другой стороны «критическое» значение «интенсивности» внешнего поля  $m_c = 2$ , которое разделяет области, в которых поведение эффективного потенциала различно

$$\begin{aligned} U_{\min} &\neq 0, \quad \text{при } \rho \neq 0, \quad m < m_c, \\ U_{\min} &\rightarrow 0, \quad \text{при } \rho \rightarrow 0, \quad m > m_c \end{aligned} \quad (25)$$

В области  $m < m_c$  имеет место устойчивый режим колебаний ЗСКС, в то время как в области  $m > m_c$  ЗСКС коллапсирует на ось  $z$  при любых начальных условиях. Вид эффективного потенциала приведен на Рис.1

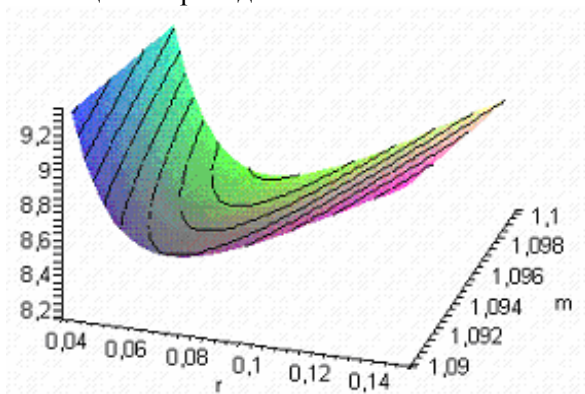


Рис. 1. Общий вид "эффективного потенциала" (23) в случае азимутального магнитного поля.

Таким образом, имеем следующую качественную картину поведения ЗСКС в азимутальном магнитном поле. Если  $N < 2\sqrt{2}c$ , то стационарная точка (24) у эффективного потенциала отсутствует и ЗСКС движется вдоль оси  $z$ , совершая осцилляции в ортогональной плоскости. Характер осцилляций зависит как от начальных данных  $\rho(0)$ ,  $\dot{\rho}(0)$ , так и параметров  $N$  и  $m$ . Для малых колебаний ЗСКС частота последней определяется только параметрами  $N$  и  $m$ , причем с увеличением  $m$  частота колебаний монотонно растет и может быть достаточно хорошо аппроксимирована в интервале  $0 < m < 1.9$  функцией вида  $ae^{bm^2}$ , где  $a$  и  $b$  некоторые постоянные. Вычисления показывают, что на этом интервале частота колебаний изменяется на два порядка.

При  $N > 2\sqrt{2}c$  движение ЗСКС имеет тот же характер, как и в случае  $N < 2\sqrt{2}c$ , однако зависимость частоты колебаний от параметров  $N$  и  $m$  носит более сложный характер. Численный анализ показывает, что при  $0 < m < m_s$  частота колебаний возрастает на порядок и ее рост неплохо аппроксимируется экспонентой с показателем пропорциональным  $m^4$ . Наиболее резкое возрастание частоты наблюдается при  $m_s < m < 1.2$ , причем рост частоты усиливается с увеличением  $N$ . И, наконец, при  $1.2 < m < 1.9$  частота растет экспоненциально с показателем пропорциональным  $m^2$ .

#### Продольное магнитное поле.

Нетрудно показать, что гамильтониан (15) в рассматриваемом случае имеет вид

$$H = -\frac{1}{2}\rho^{-2m^2}G^{-2}\varepsilon_0^2 + \frac{1}{2}\rho^{-2m^2}G^{-2}p_\rho^2 + \frac{1}{2}\rho^{-2}G^{-2}p^2 + \frac{1}{2}\left(G^{-1} + \frac{N^2}{2}G\right)^2 \quad (26)$$

Уравнение движения и эффективный потенциал, вытекающие из гамильтониана (26) могут быть записаны следующим образом

$$\dot{\rho}^2 = \rho^{-4m^2}G^{-4}\varepsilon_0^2 - \rho^{-2m^2-2}G^{-4}p^2 - \rho^{-2m^2}G^{-4} - \frac{N^4}{4}\rho^{-2m^2} - N^2\rho^{-2m^2}G^{-2}, \quad (27)$$

$$U_{\text{эф}}^2(\rho) = \rho^{2m^2-2}p^2 + \rho^{2m^2} + \frac{N^4}{4}\rho^{2m^2}G^4 + N^2\rho^{2m^2}G^2. \quad (28)$$

Из эффективного потенциала находим стационарную точку

$$\rho = 1, \quad m_s = \frac{P}{\sqrt{p^2 + (1 + 2N^2c^2)^2}}, \quad (29)$$

критическое значение параметра  $m_c = 2$  и условия аналогичные (25). Вид

эффективного потенциала приведен на Рис.2

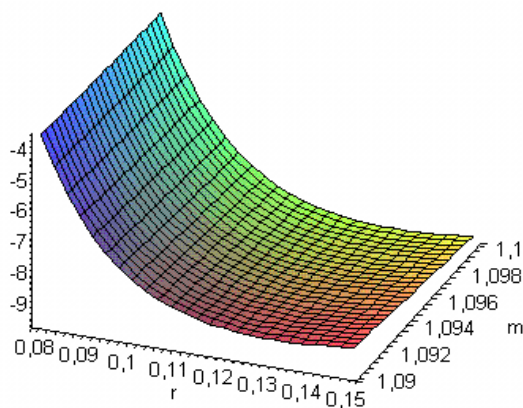


Рис. 2. Графический вид "эффективный потенциал" (28) в случае продольного магнитного поля.

Как и в случае азимутального магнитного поля, в рассматриваемом случае устойчивые осцилляции ЗСКС возможны только при  $m < m_c$ , в противном случае ЗСКС коллапсирует на ось  $z$ . Характер поведения частоты колебаний ЗСКС схож с рассмотренным в предыдущем случае, однако имеются отличия, проявляющиеся в несколько различной роли параметров  $N$  и  $p$  влияющих на рост частоты. Если в азимутальном магнитном поле скачок частоты колебаний в области  $m_s < m < 1.2$  наблюдается при  $N > 2\sqrt{2}c$  и этот параметр, по крайней мере, в несколько раз больше  $p$ , то в рассматриваемом случае имеет место обратная ситуация. Если же  $N \sim p$ , то рост частоты с ростом  $m$  носит более плавный характер и аналогичен рассмотренному в первом случае. Следует отметить, что изменение частоты при изменении  $m$  от 0 до 1.9 весьма велико и достигает трех порядков.

#### Радиальное электрическое поле.

Динамика ЗСКС в радиальном электрическом поле кардинально отличается от рассмотренных ранее случаев. В этом случае гамильтониан ЗСКС имеет вид

$$H = -\frac{1}{2}G^2 \varepsilon_0^2 + \frac{1}{2}\rho^{-2m^2} G^{-2} p_\rho^2 + \frac{1}{2}\rho^{-2m^2} G^{-2} p^2 + \frac{1}{2} \left( \rho G + \frac{N^2}{2\rho G} \right)^2, \quad (30)$$

а уравнение движения и эффективный потенциал могут быть представлены в следующей форме:

$$\dot{\rho}^2 = \rho^{-2m^2} \varepsilon_0^2 - \rho^{-4m^2} G^{-4} p^2 - \rho^{-2m^2+2} - \frac{N^4}{4} \rho^{-2m^2-2} G^{-4} - N^2 \rho^{-2m^2} G^{-2}, \quad (31)$$

$$U_{\text{эф}}^2(\rho) = \rho^{-2m^2} G^{-4} p^2 + \rho^2 + \frac{N^4}{4} \rho^{-2} G^{-4} + N^2 G^{-2} . \quad (32)$$

Вид эффективного потенциала приведен на Рис.3.

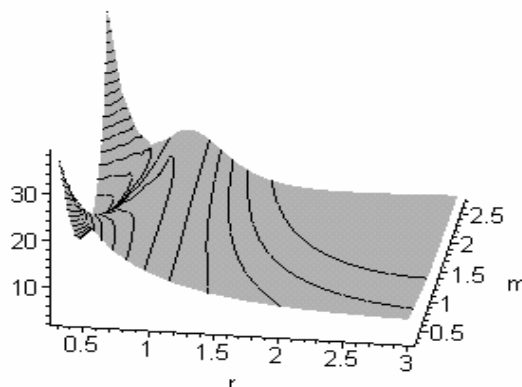


Рис. 3. Графический вид "эффективного потенциала" (32) в случае продольного магнитного поля. Видно, что в области  $m > 2$  существуют два минимума.

Несмотря на наличие в эффективном потенциале стационарной точки типа «седло», ни при каких значениях параметров  $N$  и  $p$  не наблюдается какое-либо заметное увеличение частоты колебаний ЗСКС при увеличении параметра  $m$ . Более того, в достаточно широком диапазоне изменения параметров, частота заметно падает с ростом  $m$ . Из (32) находим два критических значения параметра  $m$ :  $m_{c1} = 1/2$ ,  $m_{c2} = 2$ . Эти значения разделяют области в которых поведение эффективного потенциала различно.

Анализ последнего условия в (33) показывает, что в данном интервале изменения  $m$  существует два минимума. Если ЗСКС локализована во второй потенциальной яме, то ее колебания носят устойчивый характер. Если же энергия ЗСКС превосходит значение потенциальной энергии в максимуме эффективного потенциала, то ЗСКС с неизбежностью коллапсирует на ось  $z$ . Следует отметить, что второй минимум эффективного наблюдается не при всех значениях параметров  $N$  и  $p$ . Следовательно, при некоторых значениях параметров  $N$  и  $p$  ЗСКС коллапсирует независимо от величины начальной энергии.

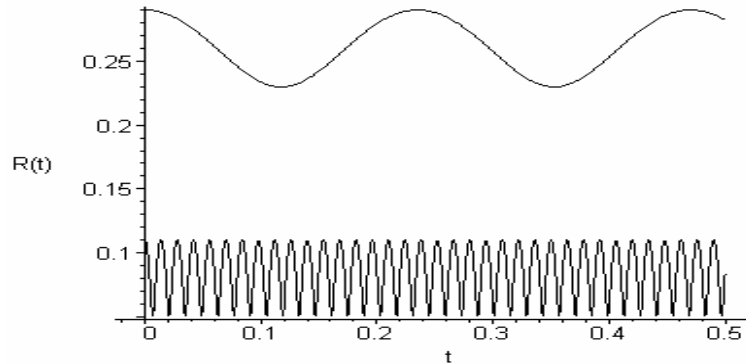


Рис. 4. Малые колебания струны для случая азимутального магнитного поля при значении параметра  $m$  равного 1 (верхняя кривая) и 1.1 (нижняя кривая). Видно, что частоты осцилляций отличаются больше чем на порядок.

$$\begin{aligned}
 U_{\min} &\neq 0 \quad \text{при } \rho \neq 0, \quad m < m_{c1}, \quad m_{c2} < m, \\
 U_{\min 1} &\rightarrow 0 \quad \text{при } \rho \rightarrow 0, \\
 U_{\min 2} &\neq 0 \quad \text{при } \rho \neq 0, \quad m_{c1} < m < m_{c2}
 \end{aligned} \tag{33}$$

Численный анализ первого условия в (33) показывает, что в этих областях изменения параметра существует устойчивый колебательный режим. Кроме того в каждой из этих областей могут существовать два минимума. Наличие вторых минимумом зависит от соотношения между параметрами  $N$  и  $p$ .

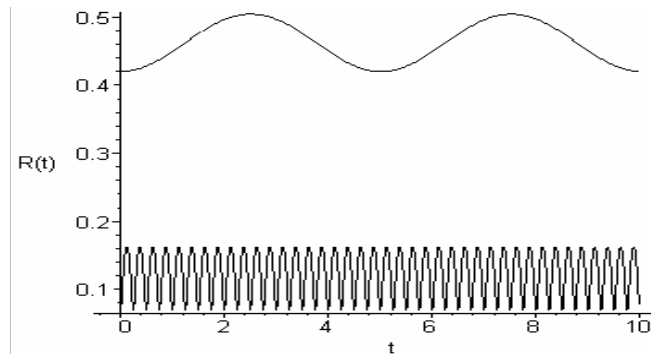


Рис. 5. Малые колебания струн, локализованных в разных потенциальных ямах. По оси абсцисс отложено собственное время в условных единицах, по оси ординат – радиус струны. Верхний график искусственно опущен для наглядности: истинный радиус струны в 5 раз больше. Нижний график соответствует значительно более узкой яме с «крутыми» стенками.

Так, например, если  $p$  превосходит  $N$ , то два минимума существуют только в области  $m < m_{c1}$ , тогда как в области  $m_{c2} < m$  остается только один минимум. Если же  $N$  превосходит  $p$ , то ситуация становится прямо противоположной.

Потенциальные ямы, соответствующие «небольшим» значениям  $\rho$ , могут быть гораздо уже и глубже потенциальных ям соответствующих большим значениям  $\rho$ . Таким образом, если ЗСКС локализована в потенциальной яме, соответствующей большему значению  $\rho$ , то частота ее осцилляций может быть на несколько порядков меньше частоты колебаний струны, локализованной в узкой потенциальной яме при одной и той же полной энергии струны.

Таким образом, в случае радиального электрического поля мы имеем более разнообразную динамику ЗСКС чем в предыдущих двух. Однако, как и следовало ожидать, во всех трех случаях четко прослеживается зависимость возникновения того или иного типа движения ЗСКС как от характеристик последней (параметр  $N$ ), так и от характеристик фоновой метрики (параметр  $m$ ).

Уравнения для радиальной функции  $\rho(\tau)$  решались численно методом Рунге-Кутта четвертого порядка для всех трех случаев (22), (27), (31). Варьируя начальные данные и параметры  $m$ ,  $N$  и  $p$  можно получить все типы движения ЗСКС описанные выше. На Рис.4 представлен колебательный процесс ЗСКС в случае азимутального магнитного поля при  $m = 1$ , и при  $m = 1.1$ . Хорошо видна разница между частотами обоих колебаний. Рис.5 иллюстрирует колебательный процесс ЗСКС для случая радиального электрического поля при наличии двух потенциальных ям ( $m = 1/3$ ). Верхний график искусственно сжат в вертикальном направлении. Видно, что струна, локализованная в узкой потенциальной яме, совершает колебания с частотой значительно большей частоты колебаний струны, локализованной в широкой потенциальной яме.

## ВЫВОДЫ

Полученные в работе результаты показывают, что динамика ЗСКС может быть сведена к исследованию движения точечной частицы в эффективном потенциале, который однозначно определяется фоновой метрикой. Это наблюдение позволяет достаточно просто исследовать динамику ЗСКС в цилиндрически-симметричных полях Эйнштейна-Максвелла. При этом оказывается, что динамика ЗСКС носит нетривиальный характер и существенным образом зависит как от параметров фоновой метрики, так и от параметров сверхпроводящей струны. В частности, очень четко прослеживаются изменения в динамике ЗСКС от параметра  $m$ . В случае азимутального и аксиального магнитного полей частота колебаний струны монотонно увеличивается при увеличении параметра  $m$ . При этом, если значение  $m$  в седловой стационарной точке приближается к 1, частота колебаний значительно возрастает в узком диапазоне изменения  $m$ . Случай радиального электрического поля кардинально отличается от предыдущих двух: во-первых, наличие стационарной точки типа «седло» не оказывает заметного влияния на

поведение ЗСКС и, как следствие, при увеличении параметра  $m$  не наблюдается роста частоты осцилляций; во-вторых, в достаточно широком диапазоне изменения параметров  $N$  и  $p$  при фиксированном  $m$  возможно существование двух потенциальных ям различной ширины. Частоты колебаний ЗСКС локализованных в этих ямах могут очень сильно отличаться.

Авторы искренне благодарны Л.Я. Арифову, А.А. Желтухину и А.П. Лелякову за плодотворное обсуждение и критические замечания.

### Список литературы

1. A. Vilenkin, E.P.S. Shellard. Cosmic strings and other topological defects –Cambridge University Press, 2000.
2. P.I.E. Peebles. Principles of physical cosmology –Princeton University Press, 1993.
3. A. Kuiroukidis, D.B. Papadopoulos. Strings in Kerr-Newman black holes, // gr-qc/9909057.
4. E. Witten. // Nucl. Phys. B 249, 557-592, 1985.
5. M.B. Hindmarsh, T.W.B. Kibble. Cosmic strings // hep-th/9411342.
6. A.E. Everett. // Phys. Rev. Lett. V 61, № 16, 1807-1810.
7. V. Berezhinsky, B. Hnatyk, A. Vilenkin. Gamma ray bursts from superconducting cosmic strings // astro-ph/0102366.
8. A.L. Larsen. Cosmic Strings and Black Holes // hep-th/9610063.
9. Д.В. Гальцов, Э. Масар. // ТМФ, т 80, № 2, с. 288-304, 1989.
10. M. Sazhin, G. Longo, M. Capaccioli and others. CSL-1: chance projection effect or serendipitous discovery of gravitational lens induced by a cosmic strings? // astro-ph/0302547.
11. M.V. Sazhin, O.S. Khovanskaya, M. Capaccioli and others. Lens candidates in the Capodimonte Deep Field in vicinity of the CSL-1 object // astro-ph/0406516.
12. A.L. Larsen. Charged cosmic string nucleation in de Sitter space // hep-th/9409005..
13. Д. Крамер, Х. Штефани, М. Мак-Каллум, Э. Херльт Точные решения уравнений Эйнштейна. Под ред. Э. Шмутцера: Пер. с англ.— М.: Энергоиздат, 1982. 416 с.

**Жовтан О.В., Рошчупкин С.М. Поля Эйнштейна-Максвелла і динаміка вортонов // Учені записки Таврійського національного університету ім. В. І. Вернадського. – 2007. – Серія «Фізика». - Т. 20 (59). - № 1. - С. 3-13.**

Розглянуто загальну модель сверхпроводячої струни. Показано, що замкнута сверхпроводяча струна в аксіально-симетричних полях Ейнштейна-Максвелла може бути описана крапка подібним гамільтоніаном.

**Ключові слова:** сверхпроводяча космічна струна, поля Ейнштейна-Максвелла, чисельні розв'язки.

**Zhovtan A.V., Roshchupkin S.N. Einstein-Maxwell gravitational backgrounds and vorton dynamics // Uchenye zapiski Tavricheskogo Natsionalnogo Universiteta im. V.I. Vernadskogo. – 2007. – Series «Fizika». – V. 20 (59). - № 1. – P. 3-13.**

A general family of charge-current carrying string model is investigated. In the special case of circular configurations in axially symmetric Einstein-Maxwell gravitational backgrounds the dynamics is determined by simple point particle Hamiltonians.

**Keywords:** superconducting cosmic string, Einstein-Maxwell gravitational backgrounds, numerical solutions

Поступила в редакцію 22.12.2006 г.